

ПРОДОЛЬНЫЙ СДВИГ В АНИЗОТРОПНОЙ СРЕДЕ
С РАЗРЕЗАМИ

Л. А. ФИЛЬШТИНСКИЙ

(Сумы)

В последние годы развиваются дислокационные модели, позволяющие рассматривать среды с криволинейными разрезами [1, 2]. Формальный подход, дающий возможность традиционными методами теории функций комплексного переменного сводить краевые задачи для анизотропных тел с разрезами к сингулярным интегральным уравнениям, развит в [3]. В данной работе рассматривается продольный сдвиг анизотропной среды, ослабленной криволинейными трещинами.

1. Постановка задачи. Рассмотрим неограниченную упругую анизотропную среду, ослабленную полостями — разрезами в направлении оси x_3 и нагруженную на бесконечности однородными сдвигающими напряжениями τ_{13}^0 и τ_{23}^0 (фиг. 1).

Если в каждой точке среды имеется плоскость упругой симметрии, перпендикулярная оси x_3 , то задача о продольном сдвиге такой среды сводится к двумерной задаче теории потенциала в плоскости x_1ox_2 [4].

Обозначим контуры разрезов в плоскости x_1ox_2 через l_j ($j=1, 2, \dots, k$), сумму всех l_j — через l , неограниченную область с границей l — через D . Будем предполагать, что l_j — простые разомкнутые дуги Ляпунова с началом в точке a_j и концом — в b_j .

Уравнение равновесия и закон Гука в данном случае имеют вид

$$\frac{\partial \tau_{13}}{\partial x_1} + \frac{\partial \tau_{23}}{\partial x_2} = 0, \quad \gamma_{13} = \frac{\partial u_3}{\partial x_1},$$

$$\gamma_{23} = \frac{\partial u_3}{\partial x_2} \quad (1.1)$$

$$\gamma_{23} = a_{44}\tau_{23} + a_{45}\tau_{13}, \quad \gamma_{13} = a_{45}\tau_{23} + a_{55}\tau_{13}$$

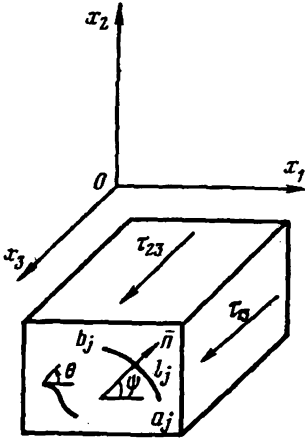
Фиг. 1

Здесь τ_{13} , τ_{23} , γ_{13} , γ_{23} — касательные напряжения и сдвиги на площадках, параллельных плоскостям x_3ox_2 и x_3ox_1 соответственно, u_3 — смещение вдоль оси x_3 , a_{ik} — коэффициенты упругости в законе Гука.

Напряжения τ_{13} , τ_{23} и смещение u_3 находятся из (1.1) с учетом совместности деформаций γ_{13} и γ_{23} :

$$\tau_{13} = 2\text{Re}\{\mu_1\Phi(z_1)\}, \quad z_1 = x + \mu_1y$$

$$\tau_{23} = -2\text{Re}\{\Phi(z_1)\}, \quad \Delta = a_{44}a_{55} - a_{45}^2 > 0 \quad (1.2)$$



$$u_3 = -2\sqrt{\Delta} \operatorname{Im} \varphi(z_1), \quad \mu_1 = \frac{a_{45} + i\sqrt{\Delta}}{a_{55}}, \quad \Phi(z_1) = \frac{d\varphi(z_1)}{dz_1}$$

Здесь $\Phi(z_1)$ — аналитическая функция от комплексного переменного z_1 . Краевое условие на l запишем в виде

$$2\operatorname{Re}\{a(\psi)\Phi^\pm(t_1)\} = \pm Z_n^\pm(t), \quad t \in l \quad (1.3)$$

$$a(\psi) = \mu_1 \cos \psi - \sin \psi, \quad t_1 = \operatorname{Re} t + \mu_1 \operatorname{Im} t$$

где верхний знак относится к левому берегу разреза при движении от a_j к b_j , ψ — угол между внешней нормалью к левому берегу в точке t и осью ox_1 , Z_n^\pm — интенсивности заданных на поверхности полости — разреза касательных усилий в направлении оси ox_3 .

Искомую аналитическую функцию $\Phi(z_1)$ представим интегралом типа Коши

$$\Phi(z_1) = A + \frac{1}{2\pi i} \int_l \frac{\omega(t) dt_1}{a(\psi) t_1 - z_1}, \quad A = \frac{\tau_{13}^\circ + \mu_1 \tau_{23}^\circ}{\mu_1 - \bar{\mu}_1} \quad (1.4)$$

Представление (1.4) обеспечивает заданное на бесконечности однородное поле сдвигающих напряжений τ_{13}° и τ_{23}° .

2. Основная система сингулярных уравнений. Переходя в (1.4) к предельным значениям и подставляя их в краевое условие (1.3), получаем, вычитая из первого предельного равенства второе

$$2 \operatorname{Re} \omega(t) = F_1(t), \quad F_1(t) = Z_n^+ + Z_n^- \quad (2.1)$$

Складывая полученные предельные равенства и учитывая (2.1), приходим к основной системе сингулярных интегральных уравнений задачи

$$\int_l \frac{p(t) dt_1}{t_1 - t_{10}} + \int_l p(t) K(t, t_0) ds = N(t_0), \quad t_0 \in l_j; \quad (j=1, 2, \dots, k)$$

$$K(t, t_0) = \frac{1}{2} \frac{a(\psi_0)}{a(\psi)} \frac{d}{ds} \ln \frac{\bar{t}_1 - \bar{t}_{10}}{t_1 - t_{10}} + \frac{\lambda(t, t_0)}{t_1 - t_{10}} \frac{dt_1}{ds}$$

$$N(t_0) = \frac{\pi}{2} \{F_2(t_0) - 2\tau_{13}^\circ \cos \psi_0 - 2\tau_{23}^\circ \sin \psi_0\} - \frac{1}{2} \operatorname{Im} \int_l \frac{a(\psi_0)}{a(\psi)} \frac{F_1(t)}{t_1 - t_{10}} dt_1$$

$$F_2(t) = Z_n^+ - Z_n^-, \quad p(t) = \operatorname{Im} \omega(t), \quad \lambda(t, t_0) = \operatorname{Re} \left[\frac{a(\psi_0)}{a(\psi)} - 1 \right] \quad (2.2)$$

$$a(\psi) = \mu_1 \cos \psi - \sin \psi, \quad a(\psi_0) = \mu_1 \cos \psi_0 - \sin \psi_0$$

$$t_1 = \operatorname{Re} t + \mu_1 \operatorname{Im} t, \quad t_{10} = \operatorname{Re} t_0 + \mu_1 \operatorname{Im} t_0, \quad \psi_0 = \psi(t_0)$$

При сделанных выше предположениях относительно l_j ядро $K(t, t_0)$ может иметь не более чем слабую особенность.

К системе (2.2) необходимо присовокупить k дополнительных условий однозначности смещения u_3 . Из (1.2) и (1.4) находим, приравнявая нулю приращения при обходе по замкнутому контуру вокруг каждого из разрезов l_j :

$$\int_{l_j} p(t) ds = 0 \quad (j=1, 2, \dots, k) \quad (2.3)$$

Решение основной системы (2.2) существует в классе h_0 [5] и однозначно фиксируется условиями (2.3). Функция $p(t) = \{p_j(t), t \in l_j\}$ удовлетворяет условию Гельдера в любой внутренней точке l .

В случае изотропной среды в системе (2.2) необходимо положить $\mu_1 = i$. Используя равенства (1.2), (1.4) и (2.1), находим скачок $\delta u_3(t_0)$

$$\delta u_3(t_0) = 2\sqrt{\Delta} \int_{a_j}^{t_0} p(t) ds, \quad t_0 \in l_j \quad (j=1, 2, \dots, k) \quad (2.4)$$

Согласно (2.3), $\delta u_3(b_j) = 0$.

3. Асимптотические значения напряжений в окрестности концов a и b_j . Введем параметризацию l_j , положив (ниже индекс j опускаем)

$$t = t(\beta), \quad t(-1) = a, \quad t(1) = b, \quad t \in l_j, \quad -1 \leq \beta \leq 1 \quad (3.1)$$

Согласно (3.1), и учитывая, что решение (2.2), (2.3) существует в классе h_0 , запишем

$$p(t) = \Omega(\beta) = \Omega_0(\beta) (1 - \beta^2)^{-1/2} \quad (3.2)$$

Вычисляя асимптотические значения [5] интеграла (1.4) и принимая во внимание (1.2), (2.1) и (3.1), получаем асимптотические выражения искомых величин в окрестности концевой точки $c = a$ или $c = b$:

$$\tau_{13} = \mp \sqrt{\frac{s'(\pm 1)}{2\rho}} \operatorname{Re}(\mu_1 \xi), \quad \tau_{23} = \mp \sqrt{\frac{s'(\pm 1)}{2\rho}} \operatorname{Re} \xi \quad (3.3)$$

$$\xi = \zeta(\theta) = i\Omega_0(\pm 1) / [\mp (\cos \theta + \mu_1 \sin \theta) (\mu_1 \cos \psi_c - \sin \psi_c)]^{1/2}$$

$$s'(\pm 1) = \left. \frac{ds}{d\beta} \right|_{\beta = \pm 1}, \quad \rho = |z - c|, \quad \psi_c = \psi(t) |_{t=c}$$

Здесь верхний знак относится к точке $c = b$ (конец трещины), нижний знак — к точке $c = a$ (начало трещины), ds — элемент дуги на l , отсчет полярного угла θ для каждого из концов показан на фиг. 1.

Из (3.3) можно, в частности, получить асимптотические значения напряжений на продолжении трещины за точку c :

$$\tau_{13} = \mp \sqrt{\frac{s'(\mp 1)}{2\rho}} \operatorname{Im} \frac{i\mu_1 \Omega_0(\pm 1)}{\mu_1 \cos \psi_c - \sin \psi_c} \quad (3.4)$$

$$\tau_{23} = \mp \sqrt{\frac{s'(\pm 1)}{2\rho}} \operatorname{Im} \frac{i\Omega_0(\pm 1)}{\mu_1 \cos \psi_c - \sin \psi_c}$$

4. Примеры. *Одинокрая прямолинейная трещина в анизотропной среде, ориентированная произвольным образом.* Рассмотрим трещину длиной $2L$, наклон которой определяется углом $\psi = \text{const}$. Берега трещины свободны от сил, на бесконечности действуют сдвигающие усилия τ_{13}° и τ_{23}° .

Интегральное уравнение (2.2) в этом случае имеет вид

$$\int_t \frac{p(t)}{t_1 - t_0} dt_1 = N(t_0), \quad N(t_0) = -\pi (\tau_{13}^\circ \cos \psi + \tau_{23}^\circ \sin \psi) \quad (4.1)$$

Его решение таково:

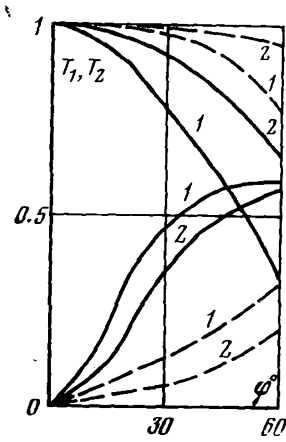
$$\Omega_0(\beta) = \beta N / \pi, \quad t \neq i e^{i\psi} \beta L, \quad -1 \leq \beta \leq 1, \quad s = |t| \quad (4.2)$$

Подставив $\Omega_0(\pm 1)$ из (4.2) в (3.3) или (3.4), получим соответствующие асимптотические значения напряжений

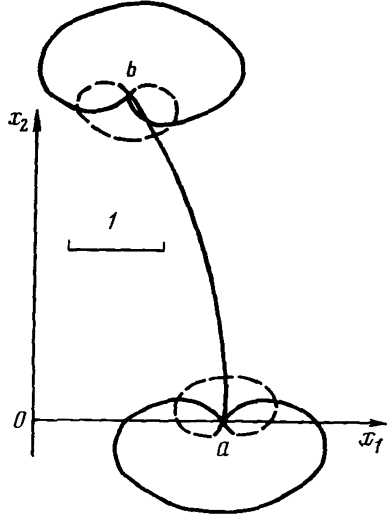
$$\tau_{13} = \sqrt{\frac{L}{2\rho}} (\tau_{13}^\circ \cos \psi + \tau_{23}^\circ \sin \psi) \lambda_1(\psi), \quad \tau_{23} = \sqrt{\frac{L}{2\rho}} (\tau_{13}^\circ \cos \psi + \tau_{23}^\circ \sin \psi) \lambda_2(\psi)$$

$$\lambda_1(\psi) = \operatorname{Im} \frac{i\mu_1}{\mu_1 \cos \psi - \sin \psi}, \quad \lambda_2(\psi) = \operatorname{Im} \frac{i}{\mu_1 \cos \psi - \sin \psi}$$

Пусть теперь $\tau_{13}^\circ = \tau_{23}^\circ = 0$, а на поверхности разреза заданы сосредоточенные на линии $x=x_0$, $y=y_0$ и противоположно направленные касательные усилия интенсив-



Фиг. 2



Фиг. 3

ности q . В этом случае $Z_n^+ = q\delta(x-x_0, y-y_0)$, $Z_n^- = -q\delta(x-x_0, y-y_0)$, где $\delta(x, y)$ — дельта-функция Дирака. Решение уравнения (4.1) имеет вид

$$p(t) = \frac{\Omega_0(\beta)}{\sqrt{1-\beta^2}}, \quad \Omega_0(\beta) = -\frac{q}{\pi L} \frac{\sqrt{1-\beta_0^2}}{(\beta-\beta_0)} \quad (4.3)$$

Здесь $\beta = \beta_0$ соответствует точке приложения сосредоточенного усилия $t = x_0 + iy_0$. Асимптотические значения напряжений, например на продолжении разреза за точку $s = b$, определяются формулой

$$\tau_{13} = \frac{q\lambda_1}{\pi\sqrt{2\rho L}} \sqrt{\frac{1+\beta_0}{1-\beta_0}}, \quad \tau_{23} = \frac{q\lambda_2}{\pi\sqrt{2\rho L}} \sqrt{\frac{1+\beta_0}{1-\beta_0}}$$

Пусть $\tau_{13}^\circ = \tau_{23}^\circ = 0$, а на поверхности полости — разреза заданы произвольно распределенные касательные нагрузки $Z_n^+ = q(s)$, $Z_n^- = -q(s)$. В этом случае асимптотические значения напряжений, например для конца $s = b$, имеют вид

$$\tau_{13} = \frac{\lambda_1}{\pi\sqrt{2\rho L}} \int_{-1}^1 q(s) \sqrt{\frac{1+\beta}{1-\beta}} ds, \quad \tau_{23} = \frac{\lambda_2}{\pi\sqrt{2\rho L}} \int_{-1}^1 q(s) \sqrt{\frac{1+\beta}{1-\beta}} ds$$

Если $q(s) = \text{const}$, то эти формулы принимают вид

$$\tau_{13} = \lambda_1 q \sqrt{0.5L/\rho}, \quad \tau_{23} = \lambda_2 q \sqrt{0.5L/\rho} \quad (4.4)$$

Формулы (4.4) совпадают с соответствующими результатами из [6].

Пусть среда ослаблена криволинейной трещиной длиной $2l$ вдоль дуги эллипса

$$x_1 = R_1 \cos [1/2(1+\beta)\varphi], \quad x_2 = R_2 \sin [1/2(1+\beta)\varphi], \quad -1 \leq \beta \leq 1,$$

таким образом, что полуось R_1 ориентирована вдоль оси ox_1 . В этом случае интегральное уравнение (1.2) решалось численно с применением процедуры [7].

На фиг. 2 приведены асимптотические значения величин $T_1 = \tau_{13} \sqrt{2\rho/l}$ (нисходящие кривые) и $T_2 = \tau_{23} \sqrt{2\rho/l}$ (восходящие кривые) на продолжении трещины за конец b ($\beta=1$) в зависимости от угла φ для отношений $R_1/R_2=1$ (кривая 1) и $R_1/R_2=0.5$ (кривая 2). В расчетах принималось $\mu_1=i$ (сплошные кривые), что соответствует изотропной среде и $\mu_1=2i$ (штрихпунктирные кривые), что соответствует существенно анизотропной среде. Край трещины свободны от сил, $\tau_{13}^0=1$, а $\tau_{23}^0=0$.

На фиг. 3 приведены эпюры величин T_1 и T_2 (штрихпунктир) в начале (точка a) и в конце трещины (точка b) для значений параметров $\mu_1=2i$, $R_1/R_2=0.5$, $\tau_{13}^0=1$, $\tau_{23}^0=0$, $\varphi=60^\circ$.

Поступила 29 XI 1976

ЛИТЕРАТУРА

1. Гольдштейн Р. В., Салганик Р. Л. Плоская задача о криволинейных трещинах в упругом теле. Изв. АН СССР. МТТ, 1970, № 3.
2. Гольдштейн Р. В., Савова Л. Н. Об определении раскрытия и коэффициентов интенсивности напряжений для гладкой криволинейной трещины в упругой плоскости. Изв. АН СССР. МТТ, 1972, № 2.
3. Фильштинский Л. А. Упругое равновесие плоской анизотропной среды, ослабленной произвольными криволинейными трещинами. Предельный переход к изотропной среде. Изв. АН СССР. МТТ, 1976, № 5.
4. Лезницкий С. Г. Анизотропные пластинки. М., Гостехиздат, 1957.
5. Мусхелишвили Н. И. Сингулярные интегральные уравнения. М., Физматгиз, 1962.
6. Си Г., Либовиц Г. Математическая теория хрупкого разрушения. В кн.: Разрушение, т. 2. Математические основы теории разрушения. М., «Мир», 1975.
7. Каландия А. И. О приближенном решении одного класса сингулярных интегральных уравнений. Докл. АН СССР, 1959, т. 125, № 4.